

การสร้างแทนสคิวเซอร์ไลน์ฟอกสเพื่อการวิเคราะห์ลักษณะสมบัติของวัสดุ



นายปกรณ์ ปรีชาบูรณะ

# ศูนย์วิทยทรัพยากร จุฬาลงกรณ์มหาวิทยาลัย

วิทยานิพนธ์นี้เป็นส่วนหนึ่งของการศึกษาตามหลักสูตรปริญญาวิทยาศาสตรมหาบัณฑิต

สาขาวิชาฟิสิกส์ ภาควิชาฟิสิกส์

คณะวิทยาศาสตร์ จุฬาลงกรณ์มหาวิทยาลัย

ปีการศึกษา 2547

ISBN 974-53-1631-4

ลิขสิทธิ์ของจุฬาลงกรณ์มหาวิทยาลัย

CONSTRUCTION OF A LINE-FOCUS TRANSDUCER  
FOR MATERIAL CHARACTERIZATION



Mr. Pakorn Preechaburana

ศูนย์วิทยทรรพยากร  
จุฬาลงกรณ์มหาวิทยาลัย  
A Thesis Submitted in Partial Fulfillment of the Requirements  
for the Degree of Master of Science in Physics

Department of Physics

Faculty of Science

Chulalongkorn University

Academic Year 2004

ISBN 974-53-1631-4

หัวข้อวิทยานิพนธ์	การสร้างแท่นสคิวเซอร์ไลน์ไฟกัสเพื่อการวิเคราะห์ลักษณะสมบัติของวัสดุ
โดย	นายปกรณ์ ปรีชาบูรณ์
สาขาวิชา	พิสิกส์
อาจารย์ที่ปรึกษา	ผู้ช่วยศาสตราจารย์กி�ริณันต์ รัตนธรรมพันธ์
อาจารย์ที่ปรึกษาร่วม	อาจารย์ชนะ พิวล่อง

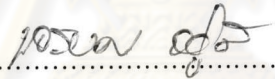
---

คณะวิทยาศาสตร์ จุฬาลงกรณ์มหาวิทยาลัย อนุมัติให้นับวิทยานิพนธ์ฉบับนี้เป็นส่วนหนึ่ง  
ของการศึกษาตามหลักสูตรปริญญามหาบัณฑิต

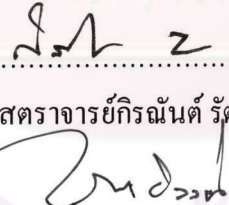
 .....

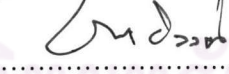
คณะดีคณวิทยาศาสตร์  
(ศาสตราจารย์ อ.ดร. เปี่ยมศักดิ์ เมเนเสوات)

คณะกรรมการสอบวิทยานิพนธ์

 .....

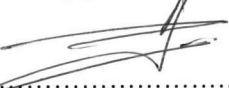
ประธานกรรมการ  
(ผู้ช่วยศาสตราจารย์ ดร. จรรยา องยุทธ์)

 .....

อาจารย์ที่ปรึกษา  
(ผู้ช่วยศาสตราจารย์กิริณันต์ รัตนธรรมพันธ์)  
 .....

อาจารย์ที่ปรึกษาร่วม  
(อาจารย์ชนะ พิวล่อง)

 .....

กรรมการ  
(อาจารย์ ดร. นุยot โพธิ แผ่สวัสดิ์บรรยง)  
 .....

กรรมการ  
(อาจารย์ ดร. ตันพงศ์ แก้วคงคา)

หัวข้อวิทยานิพนธ์	การสร้างแทรนส์ดิวเซอร์ไอล์ฟอักษรเพื่อการวิเคราะห์ลักษณะสมบัติของวัสดุ
โดย	นายปกรณ์ ปรีชาบูรณ์
สาขาวิชา	พิสิกส์
อาจารย์ที่ปรึกษา	ผู้ช่วยศาสตราจารย์กி�ริณัต์ รัตนธรรมพันธ์
อาจารย์ที่ปรึกษาร่วม	อาจารย์ชนะ พิวัล่อง

---

คณะวิทยาศาสตร์ จุฬาลงกรณ์มหาวิทยาลัย อนุมัติให้นับวิทยานิพนธ์ฉบับนี้เป็นส่วนหนึ่ง  
ของการศึกษาตามหลักสูตรปริญญามหาบัณฑิต

..... คณบดีคณะวิทยาศาสตร์  
(ศาสตราจารย์ ดร.เพีย์ม สกันดา เมนาเสวตา)

คณะกรรมการสอบวิทยานิพนธ์

..... ประธานกรรมการ  
(ผู้ช่วยศาสตราจารย์ ดร.จรวยศ ออยดี)

..... อาจารย์ที่ปรึกษา  
(ผู้ช่วยศาสตราจารย์กิริณัต์ รัตนธรรมพันธ์)  
..... อาจารย์ที่ปรึกษาร่วม  
(อาจารย์ชนะ พิวัล่อง)

..... กรรมการ  
(อาจารย์ ดร.นุยู โชคิ เพ่าสวัสดิ์บรรยง)  
..... กรรมการ  
(อาจารย์ ดร.เด่นพงศ์ แก้วคงคา)

ปกรณ์ ปรีชาบูรณ์ : การสร้างแทรนส์ดิวเซอร์ไลน์ไฟกัสเพื่อการวิเคราะห์ลักษณะสมบัติของวัสดุ. (CONSTRUCTION OF A LINE-FOCUS TRANSDUCER FOR MATERIAL CHARACTERIZATION) อ. ที่ปรึกษา: ผศ.กிரณันต์ รัตนธรรมพันธ์, อ. ที่ปรึกษาร่วม: อ.ชนะ ผิวคล่อง จำนวนหน้า 97 หน้า. ISBN 974-53-1631-4.

ในงานวิทยานิพนธ์นี้ได้สร้างแทรนส์ดิวเซอร์ไลน์ไฟกัสขึ้นเพื่อการวิเคราะห์ลักษณะสมบัติของวัสดุ สามารถสร้างได้โดยการโค้งฟิล์มโพลิไวนิลคลีนฟลูออไรด์ (PVDF) ลงบนพื้นผิวของฐานรองรับรูปทรงกระบอก ตามด้วยการเทกาวอีพ็อกซี่ที่ผสมผงทังสเตนเพื่อยึดฟิล์ม PVDF กับกล่องอลูมิเนียม ได้สร้างแทรนส์ดิวเซอร์ไลน์ไฟกัสทั้งหมด 5 ตัว ซึ่ง 3 ตัวแรกมีค่าอิมพีเดนซ์คูสติกของวัสดุหนุนรองเท่ากัน  $2.69 \text{--} 3.91$  และ  $7.37 \text{ Mrayl}$  และมีความหนา  $6 \text{ มิลลิเมตร}$  เท่ากัน ส่วนอีก 2 ตัว มีค่าอิมพีเดนซ์คูสติกของวัสดุหนุนรองเท่ากัน  $3.91 \text{ Mrayl}$  และมีความหนา  $9$  และ  $12 \text{ มิลลิเมตร}$  ตามลำดับ ทดสอบการทำงานของแทรนส์ดิวเซอร์ทั้ง 5 ตัวด้วยวงจรพัลส์เซอร์รีซิฟเวอร์ที่สร้างขึ้น พบว่าความกว้างของพัลส์จะหักกลับของแทรนส์ดิวเซอร์ทั้งหมดอยู่ในช่วง  $0.60 \text{--} 0.88 \text{ ไมโครวินาที}$  นำแทรนส์ดิวเซอร์ตัวที่มีความกว้างของพัลส์จะหักกลับน้อยที่สุดไปใช้ในการวิเคราะห์ลักษณะสมบัติของวัสดุ โดยวิธีดีไฟกัสซิงเทคนิค (defocusing technique) วัดอัตราเร็วของคลื่นตามยาว อัตราเร็วของคลื่นเรย์ลีและค่าสัมประสิทธิ์การสูญเสียพลังงาน แล้วนำค่าที่ได้ไปคำนวณหาค่ามอคูลัสของยัง ค่ามอคูลัสเฉือน ค่ามอคูลัสก้อน และค่าความหนาแน่นของวัสดุจำนวน 5 ชนิด ได้แก่ กระจกโซดาไลน์ อลูมินา อลูมิเนียม เหล็ก และสแตนเลสสตีล จากนั้นทำการเปรียบเทียบผลการวัดกับค่าในเอกสารอ้างอิงมาตรฐาน

## คุณภาพทางกายภาพ อุปกรณ์มหาวิทยาลัย

ภาควิชา.....พิสิกส์.....  
สาขาวิชา.....พิสิกส์.....  
ปีการศึกษา....2547.....

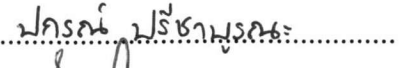
ลายมือชื่อนิสิต.....**ปกรณ์ ปรีชาบูรณ์**.....  
ลายมือชื่ออาจารย์ที่ปรึกษา.....**ดร.กิตติ์วัฒน์ ภู่ว่องไว**.....  
ลายมือชื่ออาจารย์ที่ปรึกษาร่วม.....**ดร.นพ.วิวัฒน์ พันธ์ธรรมพันธ์**.....

# # 4472315023 : MAJOR PHYSICS

KEY WORD: LINE-FOCUS TRANSDUCER/ MATERIAL CHARACTERIZATION

PAKORN PREECHABURANA : CONSTRUCTION OF A LINE-FOCUS TRANSDUCER FOR MATERIAL CHARACTERIZATION.THESES ADVISOR:  
ASST.PROF.KIRANANT RATANATHAMMAPAN, THESES COADVISOR:  
CHANA PEWLONG, 97 pp. ISBN 974-53-1631-4.

A line-focus transducer for material characterization is constructed. The transducer construction is readily achieved by conforming commercial polyvinylidene fluoride (PVDF) film to a cylindrical (convex) surface, followed by casting a tungsten-powder-loaded epoxy resin backing material into an attached aluminium case housing. Five transducers with acoustic impedance of 2.69, 3.91 and 7.37 Mrayl and backing material thickness of 6 mm, and other two with acoustic impedance of 3.91 Mrayl and backing material thickness of 9 and 12 mm respectively, are constructed. All transducers are tested by using pulser-receiver circuit, the obtained pulse width in the range of 0.60 to 0.88 microsecond. The one with the shortest pulse width is used to characterize samples material properties, by the defocusing technique. To measure the longitudinal wave speed, Rayleigh wave speed and attenuation coefficient of materials, from which the Young's modulus, shear modulus, bulk modulus and mass density may be deduced. Five samples: soda-lime glass, alumina, aluminium, iron and stainless steel have been measured, and the deduced values are comparable to the values appearing in standard references.

Department.....Physics..... Student's signature.....  
Field of study.....Physics..... Advisor's signature.....  
Academic year...2004..... Co-advisor's signature.....

## กิตติกรรมประกาศ

วิทยานิพนธ์ฉบับนี้ สำเร็จลุล่วงไปได้ด้วยความเรียบร้อย โดยได้รับคำแนะนำ และ ข้อคิดเห็นต่างๆ ทั้งทางด้านกฎหมาย การวิจัย และ การตรวจทานวิทยานิพนธ์จาก ผู้ช่วยศาสตราจารย์ กิริณันต์ รัตนธรรมพันธ์ อาจารย์ที่ปรึกษาวิทยานิพนธ์ และอาจารย์ชันะ พิวัล่อง อาจารย์ที่ปรึกษา วิทยานิพนธ์ร่วม

ผู้ศึกษาขอบเขต ผู้ช่วยศาสตราจารย์ ดร. จรรยา อยุ่ดี อาจารย์ ดร. บุญโ忠 ผ่าสวัสดิ์ยรรยง และ อาจารย์ ดร. ต้นพงศ์ แก้วคงคา ที่ให้คำแนะนำ และ ข้อคิดเห็นต่างๆ ในการ ตรวจทานวิทยานิพนธ์

ผู้ศึกษาขอบเขต รองศาสตราจารย์ วิชิต ศิริโฉต ที่ให้ความช่วยเหลือทางด้านเครื่อง พลัง เชอร์เชฟเฟอร์ และหัวดักอุตตราโซนิก สำหรับวัดค่าอินพีเดนซ์คุณติกของการอีพ็อกซี

ผู้ศึกษาขอบเขต Mr. Richard Brown ที่ให้คำปรึกษาเกี่ยวกับหลักการสร้าง แท่นสติวเซอร์ และ ขอบเขต ผู้มีส่วนร่วมอื่นๆ ที่ไม่สามารถเอ่ยนามได้ทั้งหมด

ผู้ศึกษาขอบเขต ภาควิชาฟิสิกส์ มหาวิทยาลัยธรรมศาสตร์ สำหรับทุนพัฒนาอาจารย์ สาขาวิชาเคมี ขอบเขต ของขอบเขต ภาควิชาฟิสิกส์ จุฬาลงกรณ์มหาวิทยาลัย สำหรับค่าใช้จ่ายในการ ซื้อพัสดุ สำหรับงานวิจัย และของขอบเขต ภาควิชาบัญฑิตวิทยาลัย จุฬาลงกรณ์มหาวิทยาลัย สำหรับ ทุนอุดหนุนการวิจัยที่ผู้ศึกษาได้รับ

ท้ายที่สุดนี้ ผู้ศึกษากราบขอบเขต คุณพ่อ คุณแม่ คุณยาย พี่น้อง คุณ叔姑ลักษณ์ สาม胞oy และ เพื่อนๆ ที่เคยให้กำลังใจ และให้การสนับสนุนทุกๆ ด้านมาโดยตลอด จึงขอขอบคุณมา ณ. โอกาสนี้ด้วย

## สารบัญ

หน้า

บทคัดย่อภาษาไทย.....	๑
บทคัดย่อภาษาอังกฤษ.....	๑
กิตติกรรมประกาศ.....	๙
สารบัญ.....	๙
สารบัญภาพ.....	๙
สารบัญตาราง.....	๖
คำอธิบายสัญลักษณ์และคำย่อ.....	๗
<b>บทที่ 1 บทนำ.....</b>	<b>๑</b>
1.1 ความเป็นมา.....	๑
1.2 วัตถุประสงค์ ของงานวิจัย.....	๑
1.3 ขั้นตอนการวิจัย.....	๒
1.4 เนื้อหาของวิทยานิพนธ์.....	๒
<b>บทที่ 2 ทฤษฎีพื้นฐานในการวิเคราะห์สัดส่วนโดยใช้คลื่นเสียง.....</b>	<b>๓</b>
2.1 สมมติความยึดหยุ่นของของแข็ง.....	๓
2.1.1 ความเกิน.....	๓
2.1.2 ความเครียด.....	๗
2.1.3 ค่าคงที่ยึดหยุ่น.....	๑๒
2.2 คลื่นเสียงในของแข็ง.....	๑๔
2.2.1 คลื่นเสียงในเนื้อของของแข็ง.....	๑๔
2.2.2 คลื่นที่เคลื่อนที่บนผิวของของแข็ง.....	๑๙
2.2.3 คลื่นเรย์ลีเคลื่อนที่ตรงรอยต่อระหว่างของแข็งและของเหลว.....	๒๓
2.2.4 อิมพิడेनซ์อคุสติก.....	๒๕

2.2.5 การสะท้อนและการหักเหของเสียงที่ร้อยต่อระหว่างของเหลว และของแข็ง.....	26
<b>บทที่ 3 การสร้างแทรนสคิวเซอร์ไลน์ไฟกัส.....</b>	<b>32</b>
3.1 หลักการสร้างแทรนสคิวเซอร์.....	34
3.1.1 เมื่อให้แทรนสคิวเซอร์ทำหน้าที่ส่งพัลส์คลื่นเสียง.....	35
3.1.2 เมื่อให้แทรนสคิวเซอร์ทำหน้าที่รับพัลส์คลื่นเสียง.....	39
3.2 ส่วนประกอบของแทรนสคิวเซอร์ไลน์ไฟกัส.....	42
3.2.1 ฟิล์มพอลิไวนิลิดีนฟลูออไรด์.....	42
3.2.2 วัสดุหนุนรอง.....	46
3.3 ขั้นตอนการสร้างแทรนสคิวเซอร์ไลน์ไฟกัส.....	50
3.4 ระบบวัดอัตราเร็วของคลื่นเรย์ลิโดยใช้แทรนสคิวเซอร์ไลน์ไฟกัส.....	53
3.5 ผลทดลองการทำงานของแทรนสคิวเซอร์ไลน์ไฟกัส.....	55
<b>บทที่ 4 วิเคราะห์สมบัติของวัสดุโดยใช้แทรนสคิวเซอร์ไลน์ไฟกัส.....</b>	<b>60</b>
4.1 ขั้นตอนการทดลอง.....	63
4.2 ผลการทดลอง.....	64
4.2.1 การหาค่ามอคูลัสและความหนาแน่นของกระจกโซดาไนเม.....	64
4.2.2 การหาค่ามอคูลัสและความหนาแน่นของอลูมินา.....	68
4.2.3 การหาค่ามอคูลัสและความหนาแน่นของอลูมินีียม.....	72
4.2.4 การหาค่ามอคูลัสและความหนาแน่นของหลีก.....	76
4.2.5 การหาค่ามอคูลัสและความหนาแน่นของสเตนเลสสตีล.....	80
<b>บทที่ 5 สรุปผลและข้อเสนอแนะการทดลอง.....</b>	<b>87</b>
5.1 สรุปผลการทดลอง.....	87
5.2 ข้อเสนอแนะการทดลอง.....	88
5.2.1 ความถูกต้องในการวัด.....	88
5.2.2 ข้อจำกัดของการวัด.....	88

## หน้า

5.3 งานวิจัยที่สามารถทำต่อได้ในอนาคต.....	89
<b>รายการอ้างอิง.....</b>	<b>90</b>
<b>ภาคผนวก.....</b>	<b>91</b>
ภาคผนวก ก ตารางแสดงสมบัติของฟิล์ม PVDF.....	92
ภาคผนวก ข ผลการวัดความเร็วเสียงในวัสดุพลาสติกห้องสเตนและการอีพ็อกซี.....	93
ภาคผนวก ค ผลการคำนวณค่าอัตราเร็วของคลื่นตามขวางและความหนาแน่น ของวัสดุ.....	94
<b>ประวัติผู้เขียนวิทยานิพนธ์.....</b>	<b>97</b>

**ศูนย์วิทยทรัพยากร**  
**จุฬาลงกรณ์มหาวิทยาลัย**

## สารบัญภาพ

หน้า

รูปที่ 2.1	แรง $d\vec{F}$ กระทำบนพื้นที่ผิวค้านที่ตั้งจากกับแกน x ของวัสดุเล็กๆรูปทรงลูกบาศก์.....	4
รูปที่ 2.2	ความเค้นแบบต่าง ๆ (a) ความเค้นดึง (b) ความเค้นกด (c) ความเค้นเฉือน.....	5
รูปที่ 2.3	การเลื่อนตำแหน่งของจุดในเนื้อวัสดุ หลังจากได้รับความเค้น.....	8
รูปที่ 2.4	ความเครียดเฉือน $S_{xy} = \frac{\partial u_x}{\partial y} + \frac{\partial u_y}{\partial x}$ ที่เกิดขึ้น โดยเส้นประแสดงรูปร่างเดิมก่อน ได้รับความเค้นเฉือน.....	8
รูปที่ 2.5	ความเค้นกระทำบนรูปทรงสี่เหลี่ยมค้านขนาดเล็ก ๆ.....	14
รูปที่ 2.6	เปรียบเทียบการเคลื่อนที่ของคลื่น (a) คลื่นตามยาว(บ) คลื่นตามขวาง.....	18
รูปที่ 2.7	ผิวอยู่ต่อของของแข็งและอากาศ ที่สามารถเกิดคลื่นเรย์ดี.....	19
รูปที่ 2.8	ลักษณะการเคลื่อนที่ของอนุภาคตัวกลางเมื่อคลื่นเรย์ดีเคลื่อนที่ไปในทิศ +x.....	22
รูปที่ 2.9	คลื่นเสียงตកกระบทั้งฉบับนรอต่อระหว่างของเหลวและของแข็ง.....	26
รูปที่ 2.10	คลื่นเสียงตกกระบทามมุม $\theta_i$ บนรอยต่อระหว่างของแข็งและของเหลว.....	28
รูปที่ 2.11	คลื่นตกกระบทามให้เกิดคลื่นเรย์ดี จากนั้นเกิดการสูญเสียพลังงานไปเป็น คลื่นตามยาวเคลื่อนที่กลับไปที่ของเหลว.....	31
รูปที่ 3.1	การกระตุนให้เกิดคลื่นเรก์เกลย์ที่วัสดุ โดยให้ตัวกำเนิดคลื่น(ตัวที่1) และ ตัวรับรู้ (ตัวที่2) วางทำมุม $\theta_R$ กับแนวดิ่ง.....	32
รูปที่ 3.2	แท่นสติวเซอร์ไลน์ไฟก๊อกสอง Kushibiki และ Chunbashi.....	33
รูปที่ 3.3	โครงสร้างของแท่นสติวเซอร์สำหรับส่งและรับพัลส์คลื่น.....	35
รูปที่ 3.4	แผนภาพการหาแอมปลิจูดของพัลส์ส่งผ่านและพัลส์สะท้อนกลับ เมื่อแท่นสติวเซอร์ทำหน้าที่ส่งพัลส์คลื่นเสียง.....	36
รูปที่ 3.5	แผนภาพการส่งพัลส์ของแท่นสติวเซอร์ เมื่อ $2Z_b = Z_p = 2Z_w$ .....	37
รูปที่ 3.6	แผนภาพการส่งพัลส์ของแท่นสติวเซอร์ เมื่อ $\frac{Z_b}{2} = Z_p = 2Z_w$ .....	38
รูปที่ 3.7	แผนภาพการส่งพัลส์ของแท่นสติวเซอร์ เมื่อ $Z_b = Z_p = 2Z_w$ .....	38
รูปที่ 3.8	แผนภาพการหาแอมปลิจูดของพัลส์ส่งผ่านและพัลส์สะท้อนกลับ เมื่อแท่นสติวเซอร์ทำหน้าที่รับพัลส์คลื่นเสียง.....	39

รูปที่ 3.9	แผนภาพการรับพัลส์ของแทرنสดิวเซอร์ เมื่อ $2Z_w = Z_p = 2Z_b$ .....	41
รูปที่ 3.10	แผนภาพการรับพัลส์ของแทرنสดิวเซอร์ เมื่อ $2Z_w = Z_p = Z_b / 2$ .....	41
รูปที่ 3.11	แผนภาพการรับพัลส์ของแทرنสดิวเซอร์ เมื่อ $2Z_w = Z_p = Z_b$ .....	42
รูปที่ 3.12	กระบวนการเตรียมฟิล์ม PVDF ให้มีสมบัติเพียงพอโดยเล็กทริก.....	43
รูปที่ 3.13	โครงสร้างการเรียงตัวของสายโซ่ไม้เล็กของฟิล์ม PVDF แบบ (ก) เฟส $\alpha$ และ แบบ (ข) เฟส $\beta$ .....	44
รูปที่ 3.14	เซลล์หน่วยของ PVDF แบบ (ก) เฟส $\alpha$ และ แบบ (ข) เฟส $\beta$ .....	44
รูปที่ 3.15	การเกิดโพลาไรเซชันเมื่อฟิล์ม PVDF ได้รับความเด็น.....	45
รูปที่ 3.16	ขนาดของฟิล์มเปลี่ยนเมื่อได้รับสนามไฟฟ้าทำให้ความหนาของฟิล์มลดลง.....	46
รูปที่ 3.17	รูปถ่ายชิ้นตัวอย่าง 5 ตัว ที่ทดสอบทั้งสตeten ในสัดส่วนปริมาตร 0%, 5.5%, 11%, 16.5% และ 22% เพื่อหาค่าสัดส่วนปริมาตรของหังสตeten ที่เหมาะสม.....	48
รูปที่ 3.18	กราฟความสัมพันธ์ของค่าความหนาแน่นของวัสดุผสมกับสัดส่วนปริมาตรของ หังสตeten .....	49
รูปที่ 3.19	กราฟความสัมพันธ์ของค่าอัตราเร็วเสียงของวัสดุผสมกับสัดส่วนปริมาตรของ หังสตeten .....	49
รูปที่ 3.20	กราฟความสัมพันธ์ของค่าอินพีเดนซ์คูสติกของวัสดุผสมกับสัดส่วนปริมาตรของ หังสตeten .....	50
รูปที่ 3.21	ขั้นตอนการสร้างแทرنสดิวเซอร์ไอลิน์ไฟกัส.....	51
รูปที่ 3.22	รูปถ่ายและแผนภาพโครงสร้างของแทرنสดิวเซอร์ไอลิน์ไฟกัสที่สร้างขึ้น.....	52
รูปที่ 3.23	ระบบวัดอัตราเร็วของคลื่นเรกเก้เลย์ โดยใช้ไอลิน์ไฟกัสแทرنสดิวเซอร์.....	54
รูปที่ 3.24	แผนผังของวงจรพลเซอร์ซีฟเวอร์.....	54
รูปที่ 3.25	พัลส์แรงดันไฟฟ้าขนาด 65 โวลต์ 25 นาโนวินาที ที่ได้จากการ พัลส์เซอร์ซีฟเวอร์.....	56
รูปที่ 3.26	พัลส์สะท้อนกลับของแทرنสดิวเซอร์ตัวที่ 1 2 และ 3.....	57
รูปที่ 3.27	พัลส์สะท้อนของแทرنสดิวเซอร์ตัวที่ 2 4 และ 5.....	58
รูปที่ 4.1	วิธีค่าไฟกัสซิงเทคนิคเพื่อวัดอัตราเร็วของคลื่นเรย์คি.....	61

รูปที่ 4.2	รูปถ่ายอุปกรณ์เลื่อนแท่นสติวเซอร์ไลน์ไฟกั๊ส วงจรควบคุมมอเตอร์ และวงจรพัดเซอร์รีซีฟเวอร์.....	61
รูปที่ 4.3	พัลส์สะท้อนกลับจากการจกโซดาไลม์ที่ระยะ z ตั้งแต่ 0 ถึง 6 มม.....	66
รูปที่ 4.4	กราฟระหว่างค่า z และเวลาที่คลื่นเรย์ลีใช้เดินทางบนผิวกระจากโซดาไลม์ (วัดเวลาจากจุดยอดของพัลส์ของคลื่นเรย์ลีในรูปที่ 4.3).....	66
รูปที่ 4.5	แอมป์ลิจูดของคลื่นเรย์ลีที่เดินทางบนผิวกระจากโซดาไลม์ที่ระยะ z ต่างๆ.....	67
รูปที่ 4.6	กราฟระหว่างค่า ln ของแอมป์ลิจูดของคลื่นเรย์ลีในรูปที่ 4.5.....	67
รูปที่ 4.7	พัลส์สะท้อนกลับจากอุณหภูมินาที่ระยะ z ตั้งแต่ 0 ถึง 15 มม.....	70
รูปที่ 4.8	กราฟระหว่างค่า z และเวลาที่คลื่นเรย์ลีใช้เดินทางบนผิวอุณหภูมินา (วัดเวลาจากจุดยอดของพัลส์ของคลื่นเรย์ลีในรูปที่ 4.7).....	70
รูปที่ 4.9	แอมป์ลิจูดของคลื่นเรย์ลีที่เดินทางบนผิวอุณหภูมินาที่ระยะ z ต่างๆ.....	71
รูปที่ 4.10	กราฟระหว่างค่า ln ของแอมป์ลิจูดของคลื่นเรย์ลีในรูปที่ 4.9.....	71
รูปที่ 4.11	พัลส์สะท้อนกลับจากอุณหภูมนียนที่ระยะ z ตั้งแต่ 0 ถึง 5.8 มม.....	74
รูปที่ 4.12	กราฟระหว่างค่า z และเวลาที่คลื่นเรย์ลีใช้เดินทางบนผิวอุณหภูมนียน (วัดเวลาจากจุดยอดของพัลส์ของคลื่นเรย์ลีในรูปที่ 4.11).....	74
รูปที่ 4.13	แอมป์ลิจูดของคลื่นเรย์ลีที่เดินทางบนผิวอุณหภูมนียนที่ระยะ z ต่างๆ.....	75
รูปที่ 4.14	กราฟระหว่างค่า ln ของแอมป์ลิจูดของคลื่นเรย์ลีในรูปที่ 4.13.....	75
รูปที่ 4.15	พัลส์สะท้อนกลับจากเหล็กที่ระยะ z ตั้งแต่ 0 ถึง 5.5 มม.....	78
รูปที่ 4.16	กราฟระหว่างค่า z และเวลาที่คลื่นเรย์ลีใช้เดินทางบนผิวเหล็ก (วัดเวลาจากจุดยอดของพัลส์ของคลื่นเรย์ลีในรูปที่ 4.15).....	78
รูปที่ 4.17	แอมป์ลิจูดของคลื่นเรย์ลีที่เดินทางบนผิวเหล็กที่ระยะ z ต่างๆ.....	79
รูปที่ 4.18	กราฟระหว่างค่า ln ของแอมป์ลิจูดของคลื่นเรย์ลีในรูปที่ 4.17.....	79
รูปที่ 4.19	พัลส์สะท้อนกลับจากสเตนเลสสตีลที่ระยะ z ตั้งแต่ 0 ถึง 5 มม.....	82
รูปที่ 4.20	กราฟระหว่างค่า z และเวลาที่คลื่นเรย์ลีใช้เดินทางบนผิวสเตนเลสสตีล (วัดเวลาจากจุดยอดของพัลส์ของคลื่นเรย์ลีในรูปที่ 4.18).....	82
รูปที่ 4.21	แอมป์ลิจูดของคลื่นเรย์ลีที่เดินทางบนผิวสเตนเลสสตีลที่ระยะ z ต่างๆ.....	83
รูปที่ 4.22	กราฟระหว่างค่า ln ของแอมป์ลิจูดของคลื่นเรย์ลีในรูปที่ 4.21.....	83
รูปที่ 4.23	พัลส์สะท้อนกลับจากผิวด้านล่างของ (ก) อุณหภูมนียน (ข) เหล็ก (ค) สเตนเลสสตีล....	84

## สารบัญตาราง

หน้า

ตารางที่ 2.1	การลดตัวห้อยจาก 2 ตัวเหลือ 1 ตัว สำหรับเทนเซอร์ความเค้นที่มีสัมบัติสมมาตร.....	6
ตารางที่ 3.1	สมบัติของแท่นสดิวเซอร์ทั้ง 5 ตัว.....	52
ตารางที่ 3.2	ข้อมูลของพัลส์สะท้อนกลับที่ได้จากแท่นสดิวเซอร์ทั้ง 5 ตัว.....	59
ตารางที่ 4.1	แสดงค่าความหนาของวัสดุ 5 ชนิดที่ใช้ในการทดสอบ.....	63
ตารางที่ 4.2	ค่าอัตราเร็วของคลื่นตามยาว( $V_L$ ) อัตราเร็วของคลื่นเรย์ลี( $V_R$ ) อัตราเร็วของคลื่นตามขาว( $V_T$ ) และสัมประสิทธิ์การสูญเสีย( $\alpha_R$ ) ของวัสดุ 5 ชนิด พร้อมทั้งแสดงค่าเบอร์เซนต์ความแตกต่างกับค่าอ้างอิงจากตารางที่ 4.3 ไว้ในเครื่องหมายวงเล็บ.....	85
ตารางที่ 4.3	ค่ามอคูลัสของยัง(Е) ค่ามอคูลัสเนื่อง(G) ค่ามอคูลัสก้อน(K) และค่าความหนาแน่น ( $\rho$ ) ของวัสดุทั้ง 5 ชนิด พร้อมทั้งแสดง ค่าเบอร์เซนต์ความแตกต่างกับค่าอ้างอิงจากตารางที่ 4.3 ไว้ในเครื่องหมายวงเล็บ.....	85
ตารางที่ 4.4	ค่าอัตราเร็วของคลื่นตามยาว ( $V_L$ ) อัตราเร็วของคลื่นเรย์ลี ( $V_R$ ) อัตราเร็วของคลื่นตามขาว( $V_T$ ) ค่ามอคูลัสของยัง(Е) ค่ามอคูลัสเนื่อง(G) ค่ามอคูลัสก้อน(K) และค่าความหนาแน่น( $\rho$ ) ของวัสดุทั้ง 5 ชนิด ที่มาจากการ [12].....	86

**จุฬาลงกรณ์มหาวิทยาลัย**

## คำอธิบายสัญลักษณ์และคำย่อ

สัญลักษณ์	ความหมาย
$A_0$	ແອນປະຈຸບັດເຮັ່ມຕົ້ນຂອງຄລື່ນ
$A$	ຄ່າຄວນທີ່ໄດ້
$B$	ຄ່າຄວນທີ່ໄດ້
$C$	ຄ່າຄວນທີ່ໄດ້
$C_{IJ}$	ຄ່າຄວນທີ່ຄວາມແເງິງ
$dA$	ຂາດຂອງພື້ນທີ່ເລີກາ
$dF$	ຂາດຂອງແຮງນ້ອຍາ ທີ່ກະທຳກັບວັສດຸ
$E$	ຄ່າມອດຸລັສຂອງບັນຊີ
$F(z)$	ຟົງກໍ່ຂັ້ນທີ່ຂຶ້ນກັບຄ່າ $z$
$G(z)$	ຟົງກໍ່ຂັ້ນທີ່ຂຶ້ນກັບຄ່າ $z$
$G$	ຄ່າມອດຸລັສເລື່ອນ
$H(z)$	ຟົງກໍ່ຂັ້ນທີ່ຂຶ້ນກັບຄ່າ $z$
$i$	ຕັວຫ້ອຍໃຊ້ແນວທີ່ສາມາດຂອງຄວາມເຄື່ອນ
$j$	ຕັວຫ້ອຍໃຊ້ແນວທີ່ສາມາດຖືກກັບພື້ນທີ່ຜົວທີ່ ຄວາມເຄື່ອນກະທຳ
$k$	ເລີກລື່ນຂອງຄລື່ນເຮົດ
$k_l$	ເລີກລື່ນຂອງຄລື່ນໃນຂອງເຫດວາ
$k_L$	ເລີກລື່ນຂອງຄລື່ນຕາມຍາວໃນຂອງແເງິງ
$k_T$	ເລີກລື່ນຂອງຄລື່ນຕາມຂວາງໃນຂອງແເງິງ
$K$	ຄ່າມອດຸລັສກ້ອນ
$M$	ນວລີຂອງວັສດຸ
$P$	ຄວາມດັ່ນ
$\vec{r}$	ເວກເຕອີຣ໌ແສດງຕຳແໜ່ງຂອງຈຸດ
$R$	ສັນປະສົກທີ່ກະສະຫຼອນຂອງຄລື່ນ
$u$	ຮະບະກະຈັບຂອງວັສດຸເມື່ອໄດ້ຮັບຄວາມເຄື່ອນ
$S_{ij}$	ຄ່າຄວາມເຄີຍດີ
$T$	ສັນປະສົກທີ່ກະສະສຳຜ່ານຂອງຄລື່ນ

สัญลักษณ์	ความหมาย
$T_{ij}$	ค่าความเค้น
$V$	สัดส่วนปริมาตรของวัสดุ
$V_L$	อัตราเร็วของคลื่นตามยาว
$V_R$	อัตราเร็วของคลื่นเล็กเรย์
$V_T$	อัตราเร็วของคลื่นตามขวาง
$Z_b$	ค่าอิมพีเดนซ์ของคุณติกของวัสดุหนุนรอง
$Z_p$	ค่าอิมพีเดนซ์ของคุณติกของวัสดุเพียสโซไซโอเล็กทริก
$Z_w$	ค่าอิมพีเดนซ์ของคุณติกของนำ
อักษรกรีก	
$\alpha$	ขนาดของมุนที่เปลี่ยนไป เมื่อวัสดุนั้นได้รับความเค้นเฉือน
$\alpha_R$	สัมประสิทธิ์การสูญเสียพลังงานของคลื่นเรกเกลย์
$\theta_c$	มุมวิกฤติ
$\theta_i$	มุนที่คลื่นตกกระทบทำมุนกับเส้นตั้งฉาก
$\theta_R$	มุมเรกเกลย์
$\delta_{ij}$	Kronecker delta
$\rho$	ความหนาแน่นของวัสดุ
$\lambda$	ค่าคงที่ของ lame' ตัวที่ 1
$\mu$	ค่าคงที่ของ lame' ตัวที่ 2
$v$	อัตราส่วนของปั่นส์ของ
$\phi$	ศักย์ของคลื่นตามยาว
$\phi_l$	ศักย์สเกลาร์ของการกระจัดของอนุภาคในของเหลว
$\omega$	ความถี่เชิงมุน
$\psi$	ศักย์ของคลื่นตามขวาง
$\Delta$	ปริมาตรที่เปลี่ยนไปของวัสดุ